



LB-137

Detalle de planos de estratificación (S_0) y eskisto-sidad (S_1) en los materiales del Complejo Esquisto-grauvaquico (PC_2).



LB-138

Vista parcial de anti-clinal de fase 1 en materiales precambricos (PC_2) en el km 56,5 de la carretera Cáceres-Vallencia de Alcantara.



LB-139

Pliego prehercínico en el
km 21 de la c.c. Alburquerque-Herreruela.



LB-140

Detalle de pliegues con esquistosidad paralela a los planos axiales. Los diferentes tonos nos dan la estratificación de los materiales (PC_2).



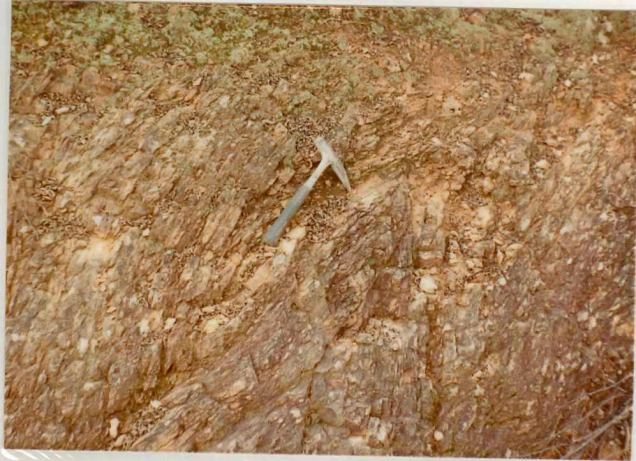
LB-141

Vista parcial de las cuarcitas y pizarras del Devónico Inferior (D_1 qp). El aspecto masivo que presenta se debe a ser una zona de fractura.



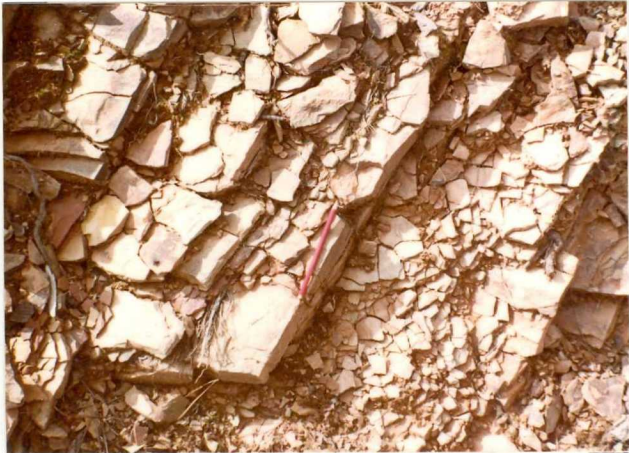
LB-142

Otro aspecto de la formación de la fotografía anterior. Obsérvese el replegamiento de los niveles cuarcíticos.



LB - 143

Micropliegues en las cuarcitas y pizarras del Devónico Inf. (D_1 qp).



LB - 144

Detalle de areniscas cuarcíticas armoricanas
con restos de pistas (Θ_{12})

LB - 145

Aspecto de las pizarras, areniscas y cuarcitas
del Ordovícico Medio (O_2).





LB - 146

Detalle de estratificación cruzada de un nivel
cuarciarenítico de la foto anterior.



LB - 147

Detalle de estratificación cruzada en cuarcitas del tramo (O_{2-3}).



LB-148

Detalle de "ripples marks" en cuarcitas del
tramo (O_{2-3}).



LB-149

Pliegue de capas cuarcíticas arenosas (S_1^A)
en el p. km. 373,5 del FF.CC Madrid-Lisboa.



LB-150

Aspecto de un tramo areniscoso con abundantes óxidos del Ordovícico Superior.



LB-151

Panorámica de la parte central de la Sierra de S.Pedro

- 1.- Precámbrico (PC_2)
- 2.- Ordovicico medio (S_1^A)
- 3.- " " (O_{2-3})
- 4.- Cuaternario (QL)



LB-152

Vista parcial de granito porfidido con clara disyunción en bolos de gran tamaño
$$\binom{b \ 2}{P_{2-3}}$$



LB-153

Detalle de granito porfidico $\left(\begin{smallmatrix} b & 2 \\ P & 2-3 \end{smallmatrix} \right)$. Observese los ferrocristales de feldespato (1).

no



LB-154

Vista parcial de metamorfismo de contacto

1.- Granito porfidico $\left(\begin{smallmatrix} b \\ P_{2-3} \end{smallmatrix} \right)$

2.- Cornubianitas (K?)



LB-155

Vista parcial de dique de diabasa en el km
56,5 de la C.N. 521 Cáceres-Valencia de Al-
cantara (E)



LB-156

Detalle de la foto anterior. Observese la
disyunción bolar existente.



LB-157

Detalle de un dique de queratofido (β A) en el km 2,5 de la c.c Salorino-S.Vicente de Alcantara.



LB-158

Detalle de corneanas (K) del metamorfismo de contacto.

LB-159

Vista parcial de pizarras negras y corneanas (K_r)





LB-160

Vista parcial de pequeña explotación en grani
tos porfidicos próxima a S.Vicente de Alcanta
ra.